ラーメン高架橋柱の地震時挙動におよぼす中間帯鉄筋の影響

(財) 鉄道総合技術研究所 正会員 〇田所 敏弥 正会員 豊岡 亮洋 正会員 岡本 大 正会員 徳永 光宏 正会員 谷村 幸裕

1. はじめに

地震時の構造物の安全性は,一般的に構造物全体系が崩壊しない性能と定義される。ラーメン高架橋柱の崩壊は,地震波の位相特性や配筋等に影響されることが考えられる。地震波の位相特性,つまり載荷履歴の影響について,応答変位の振幅を指標とすることで概ね評価できる可能性が示されている 1)。また,配筋の影響については,中間帯鉄筋を配置することによって最大変位が増加する可能性が示唆されている 2)。ただし,既往の研究 2)は,曲げせん断耐力比 1 1.2 と曲げ降伏後のせん断破壊を対象とした静的実験であるため,ここでは,曲げせん断耐力比 1 3.8 の曲げ破壊型の供試体による振動台実験を行い,中間帯鉄筋の影響について検討した。

2. 実験概要

実験は、中間帯鉄筋の有無のみ異なる同一諸元のRC柱(S1,S2)を振動台により加振することによって行った。供試体形状、振動台装置を図1、図2に、供試体諸元および材料試験値を表1に示す。また、実験に用いた基準となる加振波を図3に示す。図3に示す加振波は、断層面からの距離が離れている地点を想定し、継続時間が長く、応答変位が正負均等になる、いわゆる両振りの傾向を示す。材料試験値、および軸力については、実施の都合等により若干異なる。加振は、S1、S2とも本震相当の大きな加速度の加振を行った後、余震を想定し、小さな加速度の加振を行った。加振は、図3に示す加振波を振幅調整したものを繰返し行った。

3. 中間帯鉄筋を有する供試体の実験結果

ここでは、中間帯鉄筋を有する S2 の実験結果を示す。S1 については、 $\mathbf{文献1}$ 参照。加振履歴およびおもな 加振の応答加速度一変位関係を鉄道構造物等設計標準(耐震設計) 3)にしたがって算定した Y 点(降伏),M 点(最大),N 点(降伏荷重を保持する最大変位)からなる骨格曲線とともに表 $\mathbf{2}$ および $\mathbf{2}$ 4 に示す。加振 $\mathbf{1}$ は、最大応答変位を $\mathbf{100mm}$ 程度に抑える予定であったが、 $\mathbf{160mm}$ まで応答した。そのため、帯鉄筋の一部が わずかに降伏したが、ひずみレベル、損傷状況から、鉄筋の座屈は生じていなものと考えられる。その後、余 震を想定し、小さな加速度から徐々に加速度レベルを増加させた。そして、加振 $\mathbf{7}$ で、大外の帯鉄筋が降伏ひずみを超過し、それ以降、残留ひずみの増加が顕著になった。このとき一部の鉄筋の座屈が生じたと考えられる。 さらに、加振 $\mathbf{12}$ で、中間帯鉄筋が降伏ひずみを超過し、残留変位が $\mathbf{179mm}$ に達しため、実験を終えた。

表 1 供試体諸元および材料試験結果 断面形状 軸方向鉄筋 帯鉄筋 No. f'c (mm) 本数-径 ε, 径-ctc(mm) p_{s} S1 S1 400×400 29.4 332 1675 12 - D222.9 362 1884 1組D13-75 0.85 2.1 <中間帯鉄筋なし> S2 400×400 31.9 1950 12 - D222.9 379 2183 2組 D10-85 f'_c : コンクリートの圧縮強度(N/mm^2), f_v : 鉄筋の降伏強度(N/mm^2), ε_v : 鉄筋の降伏ひずみ(μ), $p_{\rm s}$: 軸方向鉄筋比(%), $p_{\rm w}$: 帯鉄筋比(%), σ'_N : 軸圧縮応力(N/mm²) aa | S2 軸方向鉄筋 12-D22 おもりの重心位置 <中間帯鉄筋あり> おもり固定用PC鋼棒 🛭 おもりの重心位置 落下防止治具 1000 最大加速度688ga 500 g 帯鉄筋D13@75 愚 -500 旨 9 振動台 -1000<mark>L</mark> 20 25 30 2800 時間 (sec) 」²²単位(mm) 図 1 供試体形状 (S1) 図2 振動台装置(S1) 図3 加振波の時刻歴波形

キーワード: RC 柱, 損傷, 崩壊, 中間帯鉄筋, 地震波, 振動台実験

連絡先:〒185-8540 東京都国分寺市光町 2-8-38(財)鉄道総合技術研究所 コンクリート構造 tel:042(573)7281

					表 2 実	験結果一	覧(S2)	
No.	入力		応 答					
	加振		最大加速度	最小変位	最大変位	振幅	残留変位	記事
	番号	(gal)	(gal)	(mm)	(mm)	(mm)	(mm)	
S2	1	1023	535	-160	151	311	-12	帯鉄筋がわずかに降伏ひずみに達した
	2	51	61	-16	-2	14	-12	これ以降,余震相当の加振,徐々に加速度増加
	3	123	202	-29	6	35	-12	
	4	282	357	-54	25	79	-20	
	5	340	380	-65	28	93	-24	
	6	449	419	-83	44	127	-28	
	7	549	435	-103	59	162	-35	大外の帯鉄筋が降伏ひずみを大きく超過
	8	554	436	-112	55	167	-44	これ以降、残留変位増加
	9	525	427	-114	41	155	-52	
	10	584	440	-136	46	182	-66	
	11	628	454	-170	37	207	-97	
	12	669	421	-243	0	243	-179	中間帯鉄筋が降伏ひずみを大きく超過(終了)
600								600
400	S2(加振1)			82(加振7) 400 — 事験			\sim	400
				-0-耐震標準 -0-耐震			711	400
(Eg) 200				<u>ag</u> 200	0		<i>-</i> <i> </i>	g 200
東 0	<u> </u>						<u> </u>	
(lag) 国 (lag)	<i> </i>			(ag 20) 型型 -200				(E) 200 (E) 0 (E) -200

図 4 応答加速度 - 変位関係および損傷状況 (S2)

変位(mm)

(b) 加振 7 (入力 549gal)

4. RC 柱の崩壊におよぼす中間帯鉄筋の影響

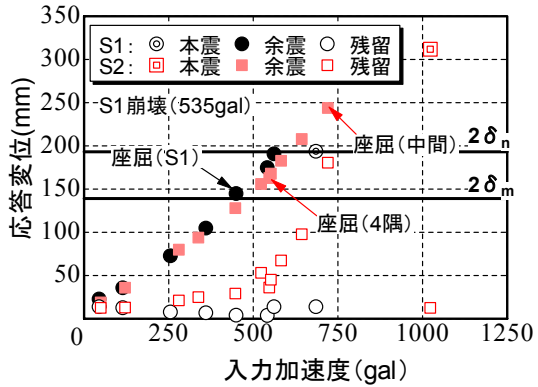
変位(mm)

(a) 加振 1 (入力 1023gal)

既往の研究 1 にしたがって、加振波の最大加速度と応答変位の振幅との関係を図 5 に示す。図 5 より、加振加速度の増加にしたがい、応答変位の振幅が増加することがわかる。中間帯鉄筋のない 5 1 においては、鉄筋の座屈を意味する 6 1 点の 2 2 倍の変位である 2 3 6 1 に振幅が達したとき、座屈に起因する帯鉄筋の降伏が確認された。

-400 -600 -200

一方,中間帯鉄筋を有する S2 においては,振幅が同レベルに達したとき,大外の帯鉄筋が降伏に至ったが,中間帯鉄筋は降伏ひずみに達しておらず,中間帯鉄筋に囲まれた鉄筋は座屈していないと考えられる。そのため, S1 が崩壊に至った 535gal の加振に対しても崩



変位(mm)

(c) 加振 12 (入力 669gal)

-600

図 5 入力加速度一変位関係 (S1,S2)

壊には至らず、振幅が N 点の 2 倍である 2 δ_n を大きく超えた 243mm に達したとき、中間帯鉄筋のひずみが降伏ひずみを大きく超えたことから、中間帯鉄筋に囲まれた鉄筋が座屈し、残留変位が急増したと考えられる。

5. まとめ

本研究の範囲において、両振りの載荷履歴をともなう地震波に対しては、中間帯鉄筋の配置によって、変形性能が向上する可能性が考えられる。今後、中間帯鉄筋の影響を力学的に示すことによって、RC柱の精度よい地震時挙動の再現が可能になるとともに、効果的なRC柱の配筋法の提案ができるものと考えられる。

参考文献

- 1) 田所敏弥, 田中浩一, 谷村幸裕, 黒川浩嗣, 服部尚道, 室野剛隆:鉄筋コンクリート柱の崩壊に関する限界の評価法, 土木学会論文集 E, Vol.64 No.2,298-313, 2008.4
- 2) 梅村恒, 市之瀬敏勝, 松澤敦行: 載荷履歴と中子筋の有無が RC 部材の復元特性に及ぼす影響, コンクリート工学年次論文報告集, Vol.25, No.2, 2003.6
- 3) 鉄道総合技術研究所:鉄道構造物等設計標準・同解説(耐震設計),丸善,1999.10